

## 模型 R, C, スラブによる破壊実験

長岡工業高等専門学校 学員 中野 義仁  
長岡工業高等専門学校 正員 北村 直樹

## 1. まえがき

道路橋 R, C, スラブの破壊機構については、破壊挙動の複雑さのため従来からのいろいろな検討にもかかわらず、いまだ十分な解明には至っていないのが現状である。一般に R, C, スラブの破壊は、いわゆる曲げ破壊とせん断破壊の2種類の破壊形式が現われる。道路橋 R, C, スラブのように作用面積が小さい荷重が作用する場合、その静的終局耐荷力は押抜きせん断破壊によって決まることが知られている。

コンクリート梁の場合、せん断破壊を防止するために腹筋筋によりウェブを補強しているが、道路橋 R, C, スラブでは特にせん断補強が行われていないのが通例である。また、土木学会の「コンクリート標準示方書」及び「道路橋示方書」では、コンクリート梁に対しては腹材の設計基準値かなり細部にわたる示しておらずかからず、R, C, スラブに対するせん断モーメントに対する規定のみでせん断に対する規定は見受けられない。しかし、現実問題としてせん断による橋梁スラブの破損は見受けられる。示方書を見ると、せん断はスラブ厚を増すにつれてのみ対処しているようである。

コンクリートと鉄筋の合成という点では梁も床版も変りはない。しかし、上述のようにせん断に対する両者の間で相違があらうように見受けられる。

そこで、本実験では R, C, スラブにスタートアップを施し、せん断に抵抗し得るならば、必要以上に床版厚を増加し、それと共に鉄筋を配置することによって悪循環から回避することができるにからむ観点からスタートアップを配置し、静的載荷による押抜きせん断破壊を生ずるまでの過程を観察して、スタートアップによる効果を検討することを目的とした。

## 2. 実験方法

模型 R, C, スラブの形状、寸法、載荷位置、支持方法を図-1に示す。鉄筋には SS41φ5。スタートアップにはφ3のものを使用した。配筋、スタートアップの位置スタートアップの形状については図-2に示す。なお、スタートアップの位置は、従来のひびわれパターンから斜め方向のひびわれが発生するので、それを拘束する意味で図-2のような配置にした。

主鉄筋、配力鉄筋の有効高さは、それだけ5.0 cm、2.5 cmであり、またコンクリートの配合は、C:S:G:W = 1.0 : 1.03 : 1.66 : 0.34とした。

材令約4週間の供試体を二辺単純支持として、供試体中央に載荷し、その載荷点直下のひびみを測定するためには、引張面の中央にダイヤルゲージをセットした。そして、終局耐荷力にいたるまで1.2 gずつ荷重を増加させ、各荷重段階において引張面中央のひびみを測定し、さらに0.6 gf/cm<sup>2</sup>ごとに除荷し、それまでに生じたひびわれを供

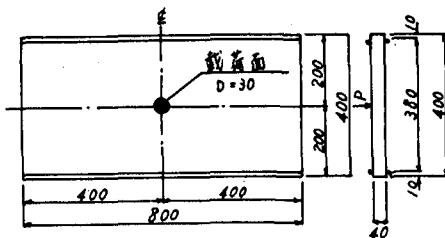


図-1. 一般寸法 (mm)

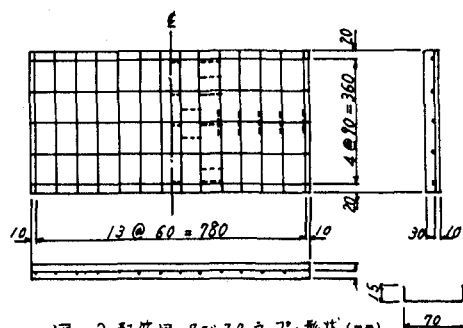


図-2. 配筋図、及びスタートアップの形状 (mm)

試体に直録記録した。この操作を普通スラブレスターラップ使用スラブについて行った。

### 3. 実験結果及び考察

#### 1) たわみ

模型R、C、スラブの引張面中央のたわみと荷重比(各段階の荷重と終局耐荷力の比)の関係は図-3に示す通りであり、スター・ラップを使用するに伴って、たわみが減少している。また、終局耐荷力におけるたわみ量を比べると、スター・ラップ使用スラブの方が大きい。これはスター・ラップによって、コンクリートと鉄筋の定着がよくなり、それがよってたわみが飛生じにくくなっている。スラブに弾力性が増すからだと考えられる。

表-1は、終局耐荷力とその時ににおけるたわみを示したものである。

#### 2) 破壊状況

図-4は、スラブ破壊後の最終的な押抜きせん断破壊面を下面から見たものである。図のようにスター・ラップ使用スラブの方が小さくなっている。

破壊後配筋方向の断面を観察し、水平面・かぶり板壞始点と上面壞始点を結ぶ線のなすせん断角度を測定したところ、図-5のようになっていた。普通スラブでは主鉄筋間にわたり変化が小さく、スター・ラップ使用スラブではその変化が大きい。また全般的にスター・ラップ使用スラブの方がせん断角度が大きくなっている。

さらに、破壊後押抜いた部分のコンクリートの破片を組合してみたところ、二箇とも富士山形のコーンを形成しており、その高さ方向にハリ字形に破壊され、その上には上面が載荷面形に陥没した厚板があり、その両者の間にハリ字形にコンクリートが存在していた。しかし、スター・ラップ使用スラブでは、スター・ラップに囲まれた部分が抜け落ちずにスター・ラップにまかれており、コーンの大きさが普通スラブよりも小さくなっていた。

#### 3) ひびわれ状況

各荷重段階におけるスラブのひびわれ状況を観察したら、普通スラブの方が早い荷重段階におけるひびわれの発生が見られた。そしてひびわれは載荷点直下を中心にして放射状に発達し、こうに破壊面を示すひびわれが発生する。最終的なひびわれの状態は似かよっていたが、普通スラブの方が広範囲に発達していた。

以上により、鉄筋コンクリートスラブの破壊機構は、上面からの荷重によつて下面の曲げによるものだけではなくせん断によるものも多分に含まれていると言えど。そして、そのせん断による破壊を減少させたためには、ハリ字形方法があつわりだが、本実験で採用したスター・ラップは、ある程度の効果があつたと考えられる。

#### 謝辞

本研究を行うにあたり、川口昌宏先生(工博・日本大学教授)から御助言と御指導をいただきました。ここに厚く感謝の意を表します。

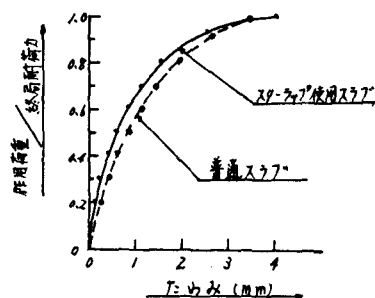


図-3. 荷重比とたわみの関係

試験体	終局耐荷力(kN)	たわみ(mm)
普通スラブ	2,480	3.170
スター・ラップ使用スラブ	2,653	4.061

表-1. スラブの終局耐荷力と最大たわみ

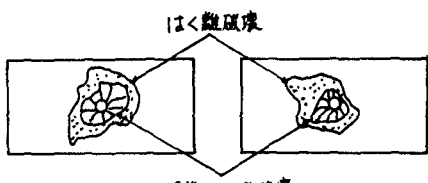


図-4. 押抜きせん断破壊面

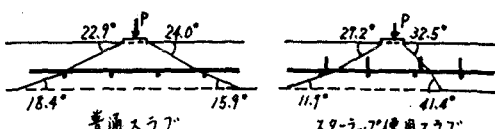


図-5. 配筋方向のせん断角度